

01; 04; 06; 09; 10; 11; 12

## КОНЦЕНТРАЦИЯ ЭЛЕКТРОНОВ В СВЧ ПЛАЗМОТРОНЕ С ВНЕШНИМ МАГНИТНЫМ ПОЛЕМ

*Ю. В. Гуляев, И. Д. Черкасов, Р. К. Яфаров*

Исходя из дифференциального уравнения диффузии электронов во внешнем магнитном поле, определены концентрация и специфика пространственного распределения электронов в диэлектрическом цилиндре-реакторе установки СВЧ вакуумно-плазменного травления. Исследованы стационарные режимы горения плазмы, его устойчивости. На основании формулы для концентрации электронов приведены решения некоторых практических задач на обеспечение оптимизации технологического процесса СВЧ вакуумно-плазменного травления микроструктур.

Представлено физическое описание процессов, имеющих актуальное техническое применение в разработке и создании современного оборудования микроэлектроники.

### Введение

Прогресс микроэлектроники связан с получением предельно высокого быстродействия аппаратуры, уменьшением размеров отдельных элементов электронных функциональных схем и соответственно с увеличением плотности их упаковки [1]. Основным технологическим процессом, определяющим этот прогресс, является литография. Перспективным методом в литографическом процессе создания устройств функциональной электроники с субмикронными размерами элементов является СВЧ вакуумно-плазменное травление (ВПТ) с электронно-циклotronным резонансом [2]. Достоинствами метода являются чистота и мягкость режимов обработки полупроводниковых структур при высокой анизотропности и селективности травления. Это обеспечивается созданием и стабильным поддержанием СВЧ газового разряда при давлениях химически активных газов на 2–3 порядка меньше, чем в существующих промышленных установках с ВЧ возбуждением разряда. При СВЧ ВПТ во внешнем магнитном поле при давлении  $1-5 \cdot 10^{-2}$  Па плазма является разреженной и низкотемпературной, а в силу ее неизотермичности основной энергетической компонентой являются электроны, которые определяют состав и концентрацию химически активных частиц, ответственных за травление материалов. В настоящей работе определена концентрация и специфика пространственного распределения электронов в диэлектрическом цилиндре-реакторе установки СВЧ ВПТ при учете влияния на процессы переноса диффузии и дрейфа электронов во внешнем магнитном поле и решены некоторые практические задачи на основе полученной формулы для концентрации электронов (см. рисунок).

### Уравнение диффузии электронов в цилиндрическом реакторе с продольным внешним магнитным полем

Пусть  $r = (x, y, z)'$  есть радиус-вектор точки диэлектрического цилиндра  $\Omega$ , где  $\rho = (x^2 + y^2)^{1/2}$ , тогда

$$\Omega = \{r : \rho \leq R, 0 \leq z \leq h\}. \quad (1)$$

Здесь  $\rho$  есть расстояние точки  $r$  до оси цилиндра  $x = y = 0$ .

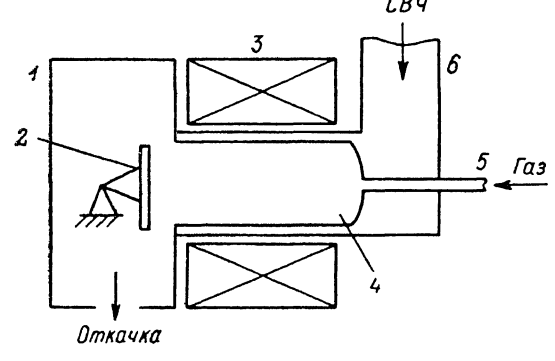
В начале координат  $x=y=z=0$  расположим источник нейтральных частиц рабочего газа (водород, азот, хладон или их смесь в соответствующей пропорции). Через  $t, \tau, s$  будем обозначать моменты времени, причем  $t, \tau, s \in R_+ = [0, \infty)$ ,  $v = (v_x, v_y, v_z)'$  есть вектор скорости рассматриваемой частицы, штрих означает операцию транспонирования вектора (или матрицы),  $E = (E_1, E_2, E_3)', H = (H_1, H_2, H_3)'$  — векторы напряженностей электрического и магнитного полей соответственно в точке  $r$  в момент времени  $t$ ,  $E_j = E_j(t, r), H_j = H_j(t, r)$  ( $j=1, 2, 3$ ). Индексы 1, 2, 3 иногда будем ставить вместо индексов  $x, y, z$  соответственно, например  $v_x = v_1, E_2 = E_y$  и т. д.

Если  $p$  — круговая частота СВЧ поля (в экспериментах  $p \approx 2.375$  ГГц), то компоненты векторов  $E, H$ , соответствующие изображенной на рисунке схеме установки, имеют вид

$$E_k = E_{k0} R_e \exp[i(\alpha_k + pt)], \\ H_k = H_{k0} R_e \exp[i(\alpha_k^M + pt)] + \delta_k^3 H_0(z), \quad (2)$$

где  $k=1, 2, 3; \delta_k^l = 0$  при  $k \neq l$  и  $\delta_k^l = 1$  при  $k=l$ . При этом  $H_0$  есть  $z$ -компоненты магнитного поля, направленного по оси цилиндра  $\Omega$ .

Плазма образуется под влиянием постоянного магнитного и СВЧ полей в результате возникновения безэлектродного тлеющего разряда. Давление рабочего газа в плазмотроне поддерживается в пределах 0.01—10 Па. Обозначим через  $v_2 = v_2(t, p, z)$  скорость потока молекул рабочего газа в  $\Omega$  (которая может быть найдена экспериментально по расходу газа и по измерениям давления в плазмотроне). Пусть  $m, v = (v_1, v_2, v_3)'$  — масса и скорость электрона соответственно. Если  $n_0 = n_0(t)$  — полное число электронов в  $\Omega$  в момент времени  $t \in R_+$ ,  $f(t, r, \varepsilon)$  — нормированная функция распределения электронов по энергиям, а  $f^*(t, \varepsilon)$  — ее среднее значение по  $\Omega$ , то можем написать [3]



Экспериментальная установка СВЧ ВПТ.

1 — вакуумная камера, 2 — подложкодержатель, 3 — электромагнит, 4 — реактор, 5 — ввод газа, 6 — волноводная система.

$$f_e(t, r, \varepsilon) = n(t, r) f(t, r, \varepsilon), \int_0^\infty \varepsilon^{1/2} f(t, r, \varepsilon) d\varepsilon = 1, \quad (3)$$

$$n(t, r) = \int_0^\infty \varepsilon^{1/2} f_e(t, r, \varepsilon) d\varepsilon, n_0(t) = \int_\Omega n(t, r) dr,$$

$$f^*(t, \varepsilon) = \frac{1}{n_0(t)} \int_\Omega f_e(t, r, \varepsilon) dr. \quad (4)$$

Обозначим через  $\nu$  эффективную частоту столкновений электронов с молекулами газа, через  $q(v)$  — сечение столкновения с передачей импульса, а через  $W$  — скорость дрейфа электронов в плазмотроне,  $W = (W^1, W^2, W^3)'$ . Пусть  $D, D_l$  — коэффициенты поперечной и продольной диффузии электронов, а  $\nu_i, \nu_o$  — усредненные по скоростям частоты столкновений, содействующих ионизации и рекомбинации электронов. Для нахождения концентрации  $n(t, r)$  в данной работе применяется уравнение Фоккера—Планка с определенными граничными и начальными условиями.

Если считать диэлектрическую подложку находящейся под плавающим потенциалом, а металлическую подложку — под плавающим потенциалом или заземленной, то уравнение Фоккера—Планка с начальными и краевыми условиями принимает следующий вид:

$$\partial_0 n + W' \nabla n = D \Delta_{\perp} n + D_t \partial_{zz} n + (\nu_i - \nu_a) n, \quad (5)$$

$$n(0, x, y, z) = \bar{n}(x, y, z) \quad n(t, x, y, 0) = 0,$$

$$n(t, x, \sqrt{R^2 - x^2}, z) = 0, \quad n(t, x, y, h) = n^*(t, \rho), \\ t \in R_+, \quad (x, y, z) \in \Omega, \quad n^*(t, R) = 0. \quad (6)$$

### Построение коэффициентов уравнения диффузии и условие потенциальности поля скоростей дрейфа

Обозначим через  $f_0(t, r, \varepsilon)$  изотропную часть нормированной функции распределения электронов по энергиям и будем считать, что коэффициенты диффузии определяются в основном столкновениями и постоянным магнитным полем. Тогда с применением результатов [3] можно будет написать

$$D = \frac{2}{3m} \int_0^\infty \frac{\nu \varepsilon^{3/2}}{\nu^2 + |\omega|^2} f^*(t, \varepsilon) d\varepsilon, \\ D_l = \frac{2}{3m} \int_0^\infty \frac{1}{\nu} \varepsilon^{3/2} f^*(t, \varepsilon) d\varepsilon, \quad (7)$$

где введено обозначение  $\omega = -(e/m) H_0$ , а  $f^*$  — усреднение  $f_0$  по цилинду  $\Omega$ . Для дальнейшего введем обозначения

$$\beta_k = \operatorname{arctg} \left\{ \left[ \int_0^\infty \frac{\nu \varepsilon^{3/2}}{\nu^2 + (p - k|\omega|)^2} \frac{\partial f_0}{\partial \varepsilon} d\varepsilon \right]^{-1} (p - k|\omega|) \int_0^\infty \frac{\varepsilon^{3/2}}{\nu^2 + (p - k|\omega|)^2} \frac{\partial f_0}{\partial \varepsilon} d\varepsilon \right\}, \\ |I_k| = \frac{2}{3} \left\{ \left[ \int_0^\infty \frac{\nu \varepsilon^{3/2}}{\nu^2 + (p - k|\omega|)^2} \frac{\partial f_0}{\partial \varepsilon} d\varepsilon \right]^2 + \right. \\ \left. + \left[ \int_0^\infty \frac{(p - k|\omega|) \varepsilon^{3/2}}{\nu^2 + (p - k|\omega|)^2} \frac{\partial f_0}{\partial \varepsilon} d\varepsilon \right]^2 \right\}^{1/2} \frac{1}{1 + |k|}, \\ \mu_k = \begin{pmatrix} 1 & k & 0 \\ -k & 1 & 0 \\ 0 & 0 & 1 - |k| \end{pmatrix}, \quad I_k = |I_k| e^{-i\beta_k}, \quad k = -1, 0, 1, \\ \mu = \frac{l}{m} \sum_{k=-1}^1 I_k \mu_k. \quad (8)$$

Матрица  $\mu$  называется матрицей комплексной подвижности.

Пусть по обозначению  $E_k = E_{0k} \cos(pt + \alpha_k)$ ,  $|E_k| = E_{0k} \exp(i\alpha_k)$  — комплексная амплитуда,  $|E_k|^*$  — комплексно сопряженная ей величина, тогда  $E_k = R_\epsilon [|E_k| \exp(ipt)]$ , где  $k = 1, 2, 3$ . Если считать, что  $\tilde{E}_k = E_{0k} \exp(-ipt)$  и вектор дрейфа в основном определяется СВЧ полем  $E$  и постоянным магнитным полем  $H_0$ , то можно написать

$$W = R_\epsilon(\mu \tilde{E}). \quad (9)$$

Пусть для определенности

$$E_1 = E_0 \cos(\alpha + pt), \quad E_2 = E_0 \cos\left(\alpha - \frac{\pi}{2} + pt\right),$$

$$E_3 = 0, \quad H_0(z) = H_0 = \text{const.}$$

При этом из (9) получаем

$$W_x = \frac{2e}{m} E_0 |I_1| \cos(\alpha + pt - \beta_1),$$

$$W_y = \frac{2e}{m} E_0 |I_1| \sin(\alpha + pt - \beta_1),$$

$$W_z = 0. \quad (10)$$

В общем случае из (9) находим ( $\alpha_k = \alpha$ )

$$W_1 = \frac{e}{m} R_e \{ [I_{-1}(E_1 - iE_2) + I_1(E_1 + iE_2)] \exp[i(\alpha + pt)] \},$$

$$W_2 = \frac{e}{m} R_e \{ [I_{-1}(E_2 + iE_1) + I_1(E_2 - iE_1)] \exp[i(\alpha + pt)] \},$$

$$W_3 = \frac{e}{m} |I_0| E_{03} \cos(\alpha + pt - \beta_0). \quad (11)$$

В дальнейшем будем рассматривать тот случай, когда существует скалярный потенциал  $\varphi$  векторного поля скоростей дрейфа  $W$ , нормированного на диффузию. Тогда говоря, при обозначениях  $D_1 = D_2 = D$ ,  $D_3 = D_e$  потенциал  $\varphi$  должен удовлетворять уравнению

$$\nabla \varphi = +2^{-1}(D_1^{-1}W_1, D_2^{-1}W_2, D_3^{-1}W_3). \quad (12)$$

Условие потенциальности заключается в выполнении следующих равенств:

$$D_m \partial_m W_k = D_k \partial_k W_m, \quad k, m = 1, 2, 3. \quad (13)$$

Потенциал  $\varphi$  не является единственным, поэтому, следуя [4], наложим на него дополнительное условие (калибровку)

$$\begin{aligned} \partial_0 \varphi + (\nu_a - \nu_i) - \sum_{1 \leq k \leq 3} (D_k [\partial_k^2 \varphi + (\partial_k \varphi)^2] - W_k \partial_k \varphi), \\ \partial_0 = \partial/\partial t, \quad \partial_1 = \partial/\partial x \text{ и т. д.} \end{aligned} \quad (14)$$

На основании (12) это условие принимает вид

$$\begin{aligned} \partial_0 \varphi = \nu_i - \nu_a + \sum_{k=1}^3 ((-2D_k)^{-1} (W_k)^2 + (2D_k)^{-2} (W_k)^2 D_k - 2^{-1} \partial_k W_k) = \\ = \nu_i - \nu_a - \sum_{1 \leq k \leq 3} \left[ \frac{1}{4D_k} (W_k)^2 + \frac{1}{2} \partial_k W_k \right]. \end{aligned}$$

Учитывая  $\partial_m \partial_0 \varphi = \partial_0 \partial_m \varphi$ , теперь можем записать еще одно условие существования потенциала с помощью вектора дрейфа

$$\begin{aligned} -(2D_m)^{-1} \partial_0 W_m = - \sum_{1 \leq k \leq 3} \left[ \frac{1}{2D_k} W_k \partial_m W_k + \frac{1}{2} \partial_{km} W_k \right], \\ \partial_0 W_m = D_m \sum_{k=1}^3 (\partial_{km} W_k + D_k^{-1} W_k \partial_m W_k), \quad m = 1, 2, 3. \end{aligned} \quad (15)$$

Таким образом, если выполнены условия (13), (15), то потенциал скоростей дрейфа находится из равенства

$$\varphi(t, r) = \varphi(0, 0) + \int_L (\partial_0 \varphi) ds + (\nabla' \varphi) d\tilde{r}, \quad (16)$$

где  $L$  есть кусочно-гладкая кривая в  $R_+ \times \Omega$ , соединяющая точку  $(0, 0)$  с точкой  $(t, r)$ ;  $r = (x, y, z)'$ ;  $d\tilde{r} = (dx, dy, dz)'$ .

Концентрация электронов  
при постоянном векторе дрейфа  
и условие стационарности газового разряда в плазмотроне

Запишем выражение для концентрации  $n(t, r)$ , считая  $n^*=0$ , при условии существования потенциала скоростей дрейфа. Для этого через  $\mu_0^{(n)}$  обозначим  $n$ -й корень функции Бесселя нулевого порядка  $J_0(x)$  и положим

$$k_{mn} = [D(R^{-1}\mu_0^{(n)})^2 + D_l(h^{-1}m\pi)^2]^{1/2}. \quad (17)$$

Теперь концентрация принимает вид

$$n(t, r) = e^{\varphi(t, r)} \sum_{m, n=1}^{\infty} \mathcal{B}_m^{(n)} J_0(\mu_0^{(n)} \rho R^{-1}) \sin(h^{-1}m\pi z) e^{-k_{mn}^2 t}, \quad (18)$$

причем постоянные  $\mathcal{B}_m^{(n)}$  определяются исходя из начального условия  $n(0, r) = n_0(r)$ .

Если перейти к эффективному электрическому полю и найти постоянный вектор эффективного дрейфа, считая постоянными коэффициенты диффузии, то можно получить один важный в практическом отношении результат. В лабораторной системе координат уравнение (5) принимает следующий вид:

$$\partial_0 n + (W_1 \partial_1 + W_2 \partial_2 + v_r \partial_3) n = [D\Delta_{\perp} + D_l \partial_z^2 + (\nu_i - \nu_a)] n. \quad (19)$$

Условия потенциальности вектора дрейфа (13), (15) выполняются, и для построения потенциала  $\varphi$  можно применить формулу (16). Для этого на основании (12), (14) запишем

$$\partial_m \varphi = \frac{1}{2D_m} W_m, \quad m = 1, 2, 3,$$

$$\partial_0 \varphi = \nu_i - \nu_a - \frac{1}{4} \sum_{k=1}^3 \frac{1}{D_k} (W_k)^2.$$

Следовательно, потенциал равен

$$\begin{aligned} \varphi(t, r) = & \left[ (\nu_i - \nu_a) - \frac{1}{4} \sum_{k=1}^3 D_k^{-1} (W_k)^2 \right] t + \\ & + \sum_{k=1}^3 (2D_k)^{-1} x_k W_k, \quad W_3 \equiv v_r, \end{aligned} \quad (20)$$

а концентрация дается выражением (18).

Для рассмотрения вопросов устойчивости, стабилизации и существования стационарного режима горения плазмы рассмотрим параметр  $k(m, n)$ , который естественно назвать коэффициентом распространения диффузионных волн в плазме газового разряда

$$k(m, n) = (\nu_i - \nu_a) - k_{mn}^2 - \frac{1}{4} \sum_{1 \leq k \leq 3} (W_k^2/D_k). \quad (21)$$

Введем три множества пар  $(m, n)$

$$M_{\gamma} = \left\{ (m, n) : k(m, n) \begin{cases} < 0 & \text{при } \gamma = -, \\ = 0 & \text{при } \gamma = 0, \\ > 0 & \text{при } \gamma = +, \end{cases} \right\}$$

а также три функции ( $\gamma = -, 0, +$ )

$$n_{\gamma}(t, r) = e^{\varphi(t, r)} \sum_{(m, n) \in M_{\gamma}} \mathcal{B}_m^{(n)} J_0(\mu_0^{(n)} R^{-1} \rho) \sin\left(\frac{m\pi}{h} z\right) e^{-k_{mn}^2 t}.$$

С помощью множеств  $M_{\gamma}$  можно произвести классификацию режимов горения. Пусть  $M = \{(m, n) : m, n = 1, 2, \dots\}$  — множество всех пар  $(m, n)$ . Если

$M = M_-$ , то происходит режим стабилизации газового разряда на его затухание, т. е.

$$n(t, r) = n_-(t, r) + n_0(t, r) + n_+(t, r) \rightarrow 0, \quad (22)$$

когда  $t \rightarrow \infty$ .

Если  $M = M_- + M_0$ , то газовый разряд стабилизируется, выходя на стационарный режим

$$n(t, r) \rightarrow n_0(t, r), \quad t \rightarrow \infty, \quad (23)$$

причем считается, что  $M_0$  не является пустым множеством.

Пусть, наконец, множество  $M_+$  также не пустое, т. е.  $M = M_- + M_+ + M_0$ . Тогда газовый тлеющий разряд будет находиться в режиме раскачки дифференциональных электронных волн

$$\max_{(\rho, z) \in \Omega} h(t, \rho, z) \rightarrow \infty, \quad t \rightarrow \infty. \quad (24)$$

При стационарном режиме (23) концентрация установившегося процесса горения равна

$$n_0(t, r) = \mathcal{B}_1^{(1)} \exp[(2D)^{-1}(xW_1 + yW_2) + (2D_i)^{-1}zv_r] \times \\ \times \left( \sin \frac{\pi}{h} z \right) J_0(\mu_0^{(1)} R^{-1} \sqrt{x^2 + y^2}). \quad (25)$$

Утверждение, что  $M_+$  — пустое множество,  $(1, 1) \in M_0$ , является условием устойчивости стационарного режима горения плазмы с концентрацией (25).

### Применение некоторых из полученных формул и их связь с экспериментом

1. Применим формулу (25) для нахождения точки  $z_0$  на оси плазменного цилиндра, в которой концентрация электронов максимальна. Для этого введем обозначения

$$n_0^{(1)}(x, y) = \mathcal{B}_1^{(1)} \exp[(2D)^{-1}(xW_1 + yW_2)] J_0(\mu_0^{(1)} R^{-1} \rho), \\ n_0^{(2)}(z) = \exp[(2D_i)^{-1}zv_r] \sin\left(\frac{\pi}{h} z\right).$$

Так как  $n_0(t, r) = n_0^{(1)}(x, y)n_0^{(2)}(z)$ , то для решения поставленной задачи достаточно исследовать на экстремум функцию  $n_0^{(2)}(z) \equiv \Phi(z)$ . Если для краткости положить  $\alpha = (2D_i)^{-1}v_r$ , то получим

$$\Phi'(z) = e^{\alpha z} [\alpha \sin(\beta z) + \beta \cos(\beta z)], \\ \Phi''(z) = e^{\alpha z} [(\alpha^2 - \beta^2) \sin(\beta z) + 2\alpha\beta \cos(\beta z)].$$

Ясно, что при  $\alpha = 0$  точкой максимума будет  $z_0 = h/2$ , поэтому в дальнейшем будем считать, что  $\alpha > 0$ , т. е.  $v_r > 0$ . Таким образом, точка, подозрительная на максимум, находится из уравнения  $\Phi'(z) = 0$ , т. е. при  $\beta = \pi/h$

$$\alpha \sin \beta z = -\beta \cos \beta z, \quad (\alpha/\beta) = \operatorname{ctg}(\beta z).$$

В точке  $z_0$ , подозрительной на максимум, вторая производная равна

$$\Phi''(z_0) = -(\alpha^2 + \beta^2) \Phi(z_0) < 0, \quad 0 < z_0 < h.$$

Следовательно, в точке

$$z_0 = \frac{h}{\pi} \left( \pi - \operatorname{arctg} \frac{2D_i \pi}{v_r h} \right) \quad (26)$$

концентрация электронов максимальна. Концентрация электронов в поперечном сечении цилиндра  $\Omega$  с координатой  $z = z_0$  равна

$$n(t, x, y, z_0) = n_0^{(1)}(x, y) n_0^{(2)}(z_0). \quad (27)$$

Из (26) следует, что  $z_0 = h/2$  при  $v_r = 0$  и  $z_0 \rightarrow h$  при  $v_r \rightarrow \infty$ .

2. Рассмотрим задачу об экспериментальном определении коэффициента диффузии. Для этого применим главный член ряда (18), когда справедливо равенство (20), считая  $x=y=0$ ,

$$n(t, 0, 0, z) = \mathcal{B}_1^{(1)} \exp \left\{ [v_i - v_a] - \frac{1}{4} \left[ \sum_{1 \leq k \leq 3} D_k^{-1} (W_k)^2 \right] t \right\} \times \\ \times J_0(0) \sin \left( \frac{\pi}{h} z \right) \exp \left\{ \frac{z}{2D_l} v_2 - \left[ D (R^{-1} \mu_0^{(1)})^2 + D_l \left( \frac{\pi}{h} \right)^2 \right] t \right\}.$$

Возьмем два момента времени  $t_1, t_2$  при  $0 < t_1 < t_2$  и при фиксированном  $z$  обозначим

$$\alpha_j = n(t_j, 0, 0, z), \beta = \frac{1}{t_2 - t_1} \ln \frac{\alpha_1}{\alpha_2}, \quad j = 1, 2.$$

Элементарные (но достаточно громоздкие) вычисления приводят к уравнению

$$\left[ (R^{-1} \mu_0^{(1)})^2 + \left( \frac{\pi}{h} \right)^2 \Delta \right] D^2 + (v_a - v_i - \beta) D + \frac{1}{4} \left[ W_x^2 + W_y^2 + \left( \frac{v_r}{\Delta} \right)^2 \right] = 0, \quad (28)$$

где  $\Delta = D^{-1} D_l$  считается известным числом,  $\Delta > 0$ .

По физическому смыслу задачи оба корня уравнения (28) должны быть положительными и одинаковыми. Иначе говоря, при известном векторе дрейфа, известных коэффициентах ионизации и рекомбинации будем считать, что

$$(v_a - v_i - \beta)^2 = \left[ (R^{-1} \mu_0^{(1)})^2 + \Delta \left( \frac{\pi}{h} \right)^2 \right] \times \left[ W_1^2 + W_2^2 + \left( \frac{v_r}{\Delta} \right)^2 \right].$$

Тогда коэффициенты диффузии будут равны

$$D = \frac{1}{2} \left[ (R^{-1} \mu_0^{(1)})^2 + \left( \frac{\pi}{h} \right)^2 \Delta \right]^{-1} (v_i + \beta - v_a),$$

$$D_l = 0.5 \left[ (R^{-1} \mu_0^{(1)})^2 + \Delta \left( \frac{\pi}{h} \right)^2 \right]^{-1} (v_i + \beta - v_a) \Delta.$$

Частный случай этого метода рассмотрен в [3, с. 171, 463], где считается, что

$$\Delta = 1, v_r = W_1 = W_2 = 0, v_i = v_a = 0,$$

а вместо концентрации берется полное число электронов в  $\Omega$ .

3. Рассмотрим задачу о нахождении энергии, поглощенной электронами, заключенными в  $\Omega$ . Для этого надо применить формулы (3), (4), (18) и (20). В результате получим

$$\mathcal{E} = \int_0^\infty \epsilon^{3/2} \int_\Omega f_e(t, r, \epsilon) dr d\epsilon = \int_\Omega n(t, r) \left[ \int_0^\infty \epsilon^{3/2} f(t, r, \epsilon) d\epsilon \right] dr.$$

Найдем в качестве примера количество энергии, поглощенной электронами плазмы для стационарного режима (25) при малой скорости дрейфа  $W \approx 0$ . Для этого применим распределение Maxwellла

$$f(\epsilon) = A \exp(-\epsilon/kT_e), \quad A = \text{const}, \quad T_e = \text{const}, \quad v = \text{const}, \quad g \approx c^{-1}.$$

Здесь  $(3/2) \cdot T_e k$  есть средняя энергия электрона,  $T_e$  называется электронной температурой, а постоянная  $A = 2 [\pi (kT_e)^3]^{-1/2}$ ,  $k$  — константа Больцмана.

Так как имеем

$$\int_0^h \sin \left( \frac{\pi}{h} z \right) dz = 2h/\pi,$$

$$\int_0^{\infty} \varepsilon^{3/2} [ \pi (kT_e)^3 ]^{-1/2} \exp(-\varepsilon/T_e k) d\varepsilon = (3/2) T_e k,$$

то на основании (25) получим

$$\mathcal{E} = (3\mathcal{J}_1^{(1)}/2) T_e (2h/\pi) Bk,$$

$$B = \iint_{x^2+y^2 \leq R^2} J_0(\mu_0^{(1)} R^{-1} \sqrt{x^2 + y^2}) dx dy = 2\pi (R/\mu_0^{(1)})^2 \int_0^{\mu_0^{(1)}} x J_0(x) dx.$$

Окончательно получаем выражение

$$\mathcal{E} = 6h T_e \mathcal{J}_1^{(1)} k \left( \frac{R}{\mu_0^{(1)}} \right)^2 \int_0^{\mu_0^{(1)}} x J_0(x) dx.$$

Из (9), (21), (25) видно, что при  $p \approx \omega$  наблюдается резонансное явление усиленного поглощения энергии электронами в стационарном режиме горения плазмы (циклотронный резонанс).

4. Рассмотрим вопрос о допустимой зоне травления микроструктур, считая, что при ослаблении концентрации в  $\alpha$  раз по сравнению с концентрацией электронов на оси цилиндра мы попадаем в недопустимую зону (будет нарушена равномерность обработки материалов). Пусть  $z=z_0$  — фиксированное число,  $z_0 \in [0, h]$ ,  $n_0=n(0, 0, z_0)$  — концентрация электронов на оси цилиндра,  $n=n(x, y, z_0)$  — стационарная концентрация в точке  $(x, y)$  поперечного сечения цилиндра.

$$\Omega(z_0) = \{(x, y, z) : x^2 + y^2 \leq R^2, z = z_0\}.$$

Тогда допустимая область травления характеризуется неравенством  $n_0/n \leq \alpha$ , а граница допустимой области  $G$  определяется из уравнения  $n_0 = \alpha n$ , где  $\alpha = \text{const} > 1$ ,  $\alpha$  — данное число.

Для решения этой задачи применим формулу (18), считая, что при  $t \rightarrow \infty$   $\varphi(t, r) = k_{11}^2 t + \varphi_1(t, \rho, z)$ ,  $\varphi_1(t, \rho, z) \rightarrow \varphi_2(\rho, z)$ , где  $\varphi_2$  — непрерывная функция в цилиндре  $\Omega$ . Для радиуса области  $G$  теперь имеем уравнение

$$\alpha e^{\varphi_2(\rho, z_0)} J_0(R^{-1} \rho \mu_0^{(1)}) = e^{\varphi_2(0, z_0)} J_0(0).$$

В частности, для потенциала вида (20) при  $W_1=W_2=0$  имеем уравнение

$$J_0(\beta) = \alpha^{-1} J_0(0), \quad \rho = R \beta [\mu_0^{(1)}]^{-1},$$

легко решаемое с применением таблиц функций Бесселя.

5. Решим, наконец, следующую задачу. Найти точки  $z_1, z_2$  на оси  $z$  такие, что  $0 \leq z_1 < z_0 < z_2 \leq h$ , где  $z_0$  находится по формуле (26), для которых выполняется неравенство

$$n_0(t, x, y, z_0)/n_0(t, x, y, z) \leq \alpha, \quad z_1 \leq z \leq z_2.$$

Такие точки дают область наиболее эффективного травления при использовании для этого соответствующей зоны плазмотрона.

Для решения задачи следует найти два корня трансцендентного уравнения

$$[\sin(h^{-1}\pi z)] \exp[(2D_l)^{-1} v_r z] = \frac{2\pi D_l}{\alpha [(v_r h)^2 + 4(\pi D_l)^2]^{1/2}} e^{\frac{\pi D_l}{2D_l}}.$$

В частности, при  $v_r=0$  получим два корня, равные

$$z_1 = \pi^{-1} h \arcsin(\alpha^{-1}), \quad z_2 = h - z_1, \quad \alpha = \text{const} > 1.$$

## Некоторые выводы

Прежде всего из формулы для поперечного коэффициента диффузии  $D$  видно, что внешнее магнитное поле сильно влияет на процесс поперечной диффузии. С увеличением поля коэффициент  $D$  уменьшается, поток электронов становится более равномерным в поперечном сечении цилиндра, а их потери на стенках уменьшаются. Аналогичные выводы приведены в [5, с. 154].

Из (8), (9) заключаем, что амплитуда высокочастотного поперечного дрейфа может быть управляема выбором внешнего магнитного поля: при его сильном возрастании ( $| \omega | \rightarrow \infty$ ) дрейф исчезает, ибо  $I \rightarrow 0$ . Это приводит к тому, что (при фиксированном  $D$ ) концентрация электронов, выражаемая формулой (25), становится симметричной относительно оси цилиндра. Напротив, при отсутствии  $H_0$  диффузия возрастает, дрейф становится неуправляемым и нарушается симметрия концентрации электронов в поперечном сечении реактора, т. е. ухудшается равномерность обработки микроструктур по площади.

Следует еще отметить, что явная формула для концентрации (18) может быть применена при вычислении коэффициентов поглощения, отражения и прохождения электромагнитных волн, которые изучены в [6].

## Литература

- [1] Гуляев Ю. В. // УФН. 1984. Т. 144. С. 475—495.
- [2] Яфаров Р. К. // Тез. докл. IV Всесоюзн. симп. по плазмохимии. Днепропетровск, 1984. Т. 1. С. 138—139.
- [3] Хаксли Л., Кромптон Р. Диффузия и дрейф электронов в газах. М.: Мир, 1977. 672 с.
- [4] Cerkasov I. D. // Soviet Math. Dokl. 1981. Vol. 23. N 1. P. 134—137.
- [5] Мак-Дональд А. Сверхвысокочастотный пробой в газах. М.: Мир, 1969. 212 с.
- [6] Батанов Г. М. // Тр. ФИАН. 1985. Т. 160. С. 174—203.

Институт радиотехники  
и электроники АН СССР  
Саратовский филиал

Поступило в Редакцию  
19 февраля 1988 г.